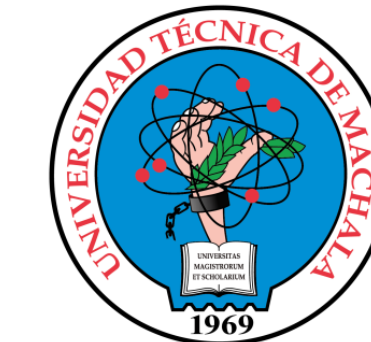


MISIÓN

La Universidad Técnica de Machala es una institución de educación superior orientada a la docencia, a la investigación y a la vinculación con la sociedad, que forma y perfecciona profesionales en diversas áreas del conocimiento, competentes, emprendedores y comprometidos con el desarrollo en sus dimensiones económico, humano, sustentable y científico-tecnológico para mejorar la producción, competitividad y calidad de vida de la población en su área de influencia.

VISIÓN

Ser líder del desarrollo educativo, cultural, territorial, socio-económico, en la región y el país.



UTMACH

UNIDAD ACADÉMICA DE INGENIERÍA CIVIL

CARRERA DE INGENIERÍA CIVIL

TÍTULO:

ANÁLISIS SÍSMICO DINÁMICO ESPECTRAL EN SAP2000 DE UN
EDIFICIO DE HORMIGÓN ARMADO DE CUATRO PLANTAS ALTAS
CON NORMATIVA NEC 2015

**TRABAJO PRÁCTICO DEL EXAMEN COMPLEXIVO PREVIO A LA
OBTENCIÓN DEL TÍTULO DE INGENIERO CIVIL**

AUTOR:

BARZALLO ASUNCION LUIS WALBERTO

Av. Panamericana km 5 1/2 Via Machala Pasaje
2983362 - 2983365 - 2983363 - 2983364
www.utmachala.edu.ec

MACHALA - EL ORO



UTMACH

UNIDAD ACADÉMICA DE INGENIERÍA CIVIL

CARRERA DE INGENIERÍA CIVIL

TEMA:

ANÁLISIS SÍSMICO DINÁMICO ESPECTRAL EN SAP2000 DE UN EDIFICIO DE HORMIGÓN ARMADO DE CUATRO PLANTAS ALTAS CON NORMATIVA NEC 2015

TRABAJO PRÁCTICO DEL EXAMEN COMPLEXIVO PREVIO A LA OBTENCIÓN DEL
TÍTULO DE INGENIERO CIVIL

AUTOR:

BARZALLO ASUNCION LUIS WALBERTO

MACHALA - EL ORO

CESIÓN DE DERECHOS DE AUTOR

Yo, BARZALLO ASUNCION LUIS WALBERTO, con C.I. 0705046142, estudiante de la carrera de INGENIERÍA CIVIL de la UNIDAD ACADÉMICA DE INGENIERÍA CIVIL de la UNIVERSIDAD TÉCNICA DE MACHALA, en calidad de Autor del siguiente trabajo de titulación ANÁLISIS SÍSMICO DINÁMICO ESPECTRAL EN SAP2000 DE UN EDIFICIO DE HORMIGÓN ARMADO DE CUATRO PLANTAS ALTAS CON NORMATIVA NEC 2015

- Declaro bajo juramento que el trabajo aquí descrito es de mi autoría; que no ha sido previamente presentado para ningún grado o calificación profesional. En consecuencia, asumo la responsabilidad de la originalidad del mismo y el cuidado al remitirme a las fuentes bibliográficas respectivas para fundamentar el contenido expuesto, asumiendo la responsabilidad frente a cualquier reclamo o demanda por parte de terceros de manera EXCLUSIVA.
- Cedo a la UNIVERSIDAD TÉCNICA DE MACHALA de forma NO EXCLUSIVA con referencia a la obra en formato digital los derechos de:
 - a. Incorporar la mencionada obra al repositorio digital institucional para su democratización a nivel mundial, respetando lo establecido por la Licencia Creative Commons Atribución-NoComercial-CompartirIgual 4.0 Internacional (CC BY-NC-SA 4.0), la Ley de Propiedad Intelectual del Estado Ecuatoriano y el Reglamento Institucional.
 - b. Adecuarla a cualquier formato o tecnología de uso en internet, así como incorporar cualquier sistema de seguridad para documentos electrónicos, correspondiéndome como Autor(a) la responsabilidad de velar por dichas adaptaciones con la finalidad de que no se desnaturalice el contenido o sentido de la misma.

Machala, 24 de noviembre de 2015



Luis Barzallo.

BARZALLO ASUNCION LUIS WALBERTO
C.I. 0705046142

INTRODUCCIÓN

Las oscilaciones excesivas o prolongadas en edificaciones producidas por los sismos originan daños importantes en los elementos tanto estructurales como no estructurales. Estas vibraciones deben ser disipadas de lo contrario llegarán a producir el colapso de la estructura y por consiguiente la pérdida de vidas humanas. Para tener un adecuado control estructural se ha desarrollado investigaciones que implican ductilidad en las estructuras sin pérdida de resistencia, en países desarrollados como Japón y Estados Unidos basados en la reducción de fuerzas dinámicas originadas por el motor de combustión interna en la estructura de los vehículos se han desarrollado disipadores de energía tanto para edificios de altura considerable como para puentes. Entre las alternativas para disminuir la vulnerabilidad se han establecido sistemas de control llamados pasivos, activos, híbridos y semiactivos.¹

A nivel de Sudamérica uno de los países con mayor registro histórico de terremotos y tsunamis de gran intensidad es Chile pues se encuentra ubicado en una zona de subducción de placas, por este motivo las normas que regulan el diseño y construcción de edificaciones son muy estrictas. Quedando en evidencia en el terremoto del 27 de febrero del 2010 la remoción de masa como un fenómeno geofísico muy recurrente.²

En nuestro país a partir 10 de enero del 2015 se estableció como obligatorio el uso de la Norma Ecuatoriana de la Construcción NEC 2015 para el análisis y diseño de edificaciones sismo resistentes, considerando como Filosofía de diseño precautelar la vida de las personas que habitan estas edificaciones e incluso disminuir y controlar los posibles daños en las estructuras³

El objetivo del presente trabajo es elaborar el Análisis Dinámico Espectral de la estructura de un edificio de cuatro plantas altas en el programa SAP2000. La zona tiene un factor de $Z=0,35$ y $q_u=1 \text{ kg/cm}^2$.

La Unidad Académica de Ingeniería Civil facilitó los planos arquitectónicos subidos por el docente a cargo de la catedra de Estructuras II dentro del periodo lectivo 2015-2016.

Inicialmente se realiza una cuantificación de cargas por medios de los factores establecidos por la norma NEC-2015, luego utilizando el código ACI por medio de coeficientes de factores de aproximación calculamos los momentos que determinaran las sección de los elementos tanto para, vigas y columnas de la edificación y con el método indicado en este código se calculó el peralte de la losa nervada.

Con los elementos establecidos por la norma tales como importancia, uso de la edificación se determina el periodo fundamental para definir el espectro de respuesta elástico e inelástico.

Para finalizar se controla que las derivas de cada piso deben ser menores a 0,02; obteniendo: momentos flectores, cortantes de cada elemento y de la base de la estructura para determinar la geometría de final de la cimentación.

DESARROLLO

USO DE LA EDIFICACIÓN

“La determinación del factor I es incrementar la demanda sísmica de diseño para estructuras, que por sus características de utilización o de importancia deben permanecer operativas o sufrir menores daños durante y después de la ocurrencia del sismo de diseño”³

Tabla: Tipo de uso, destino e importancia de la estructura

Otras estructuras	Todas las estructuras de edificación y otras que no clasifican dentro de las categorías anteriores	1.0
-------------------	--	-----

NEC_SE_DS_ (Peligro Sísmico) – 2015

CARACTERÍSTICAS

Esta estructura se caracteriza por ser de hormigón armado con una resistencia máxima a la compresión de 240 Kg/cm² aporticada con vigas bandas y losa nervada en dos direcciones sin muros ni diagonales que rigidicen la estructura y con un acero con punto de fluencia de 4200 Kg/cm². La planta baja y el mezanime serán destinados a locales comerciales y las plantas superiores serán destinadas para departamentos.

Es importante resaltar las características de la edificación por cuanto la norma establece valores que determinan datos para el cálculo de periodo fundamental de vibración y así se establece el espectro de respuesta para el análisis dinámico

TABLA DE CARGAS VIVAS APLICADAS A NUESTRO PROYECTO WL

Tabla: Cargas Vivas Aplicadas

Ocupación o Uso	Carga uniforme (kN/m ²)	Carga concentrada (kN)
Residencias Viviendas (unifamiliares y bifamiliares)	2.00	
Sistemas de pisos para circulación		
Para Oficinas	2.40	9.00

NEC2011-CAP.1-CARGAS Y MATERIALES

TIPOLOGÍA ESTRUCTURADA (APORTICADA)

Tabla: Tipología de la estructura

Tipo de estructura	C _t	
Pórticos especiales de hormigón armado		
Sin muros estructurales ni diagonales rigidizadoras	0.055	0.9

NEC_SE_DS_ (Peligro Sísmico) – 2015

ESPECIFICACIONES TÉCNICAS

Tabla: Especificaciones técnicas

Esfuerzo a la compresión a los 28 días de edad f'c=	240 Kg/cm2
* Esfuerzo a la fluencia del acero fy=	4200 Kg/cm2
* Peso específico del Hormigón =	2400 Kg/cm3
* Módulo de Poisson para el concreto	0,2

CLASIFICACIÓN POR ELEMENTO ESTRUCTURAL

“El factor R permite una reducción de las fuerzas sísmicas de diseño, lo cual es permitido siempre que las estructuras y sus conexiones se diseñen para desarrollar un mecanismo de falla previsible y con adecuada ductilidad, donde el daño se concentre en secciones especialmente detalladas para funcionar como rótulas plásticas”.³

Tabla: Coeficiente R para sistemas estructurales dúctiles Sistemas

Otros sistemas estructurales para edificaciones	
Pórticos especiales sismo resistentes de hormigón armado con vigas banda.	5

NEC_SE_DS_ (Peligro Sísmico) – 2015

CUANTIFICACIÓN DE CARGA MUERTA (TABLA, PESO DE PAREDES, PESO PROPIO DE ELEMENTOS ESTRUCTURALES)

Tabla: Metrado de cargas actuantes en cada entrepiso del edificio.

DIMENSIONES DE LA LOSA	Longitud X	mts.	10,15	10,15	10,15	10,15
	Longitud Y	mts.	16,00	19,25	19,25	19,25
	Espesor	Mts.	0,25	0,25	0,25	0,25
Área de boquetes		m²	6,91	6,91	11,26	11,26
Densidad del hormigón		Kg./m ³	2400	2400	2400	2400
DATOS DE BLOQUES	Número	N°	1210	1485	1485	1485
ENLOSA	Peso	Kg.	9,10	9,10	9,10	9,10
Área neta de losa (sin boquetes)		m²	155,49	188,48	184,13	184,13
Volumen total de losa		m³	38,87	47,12	46,03	46,03
Volumen total de bloques		m³	14,52	17,82	17,82	17,82
Peso total de bloques		Kg.	11011	13514	13514	13514
Volumen de hormigón		m³	24,35	29,30	28,21	28,21
Peso del hormigón		Kg.	58446	70319	67709	67709
Peso propio de losa + vigas		Kg.	69457	83832	81222	81222
Área de vigas + Área de columnas		m²	29,43	28,48	28,48	28,48
Peso de vigas equivalentes		Kg	17658	17088	17088	17088

Peso propio de losa	Kg./m ²	333,13	354,12	348,31	348,31
Área de paredes	m ²	257,52	308,28	308,28	308,28
Peso del metro cuadrado de pared	Kg/1m ²	167,73	160,25	160,25	160,25
Peso del enlucido de pared (terminado e=10cm)	Kg/1m ²	89,73	82,25	82,25	82,25
Peso de paredes	Kg	43193	49401	49401	49401
Peso paredes, ventanales, puertas	Kg./m ²	277,78	262,11	268,30	268,30
Peso por sobrepisos	Kg./m ²	100,00	100,00	100,00	100,00
Peso por cargas suspendidas	Kg./m ²	30,00	30,00	30,00	30,00
Peso por carga muerta	Kg./m²	740,92	746,23	746,61	746,61
Peso por carga viva	Kg./m²	240,00	240,00	200,00	200,00

Tabla: Preparación de pesos por piso

Piso	Pesos (Tn)	Niveles (m)
1	115,2	2,9
2	140,6	5,35
3	137,5	8,35
4	137,5	11,35
	530,8	

PREDISEÑO DE LOS ELEMENTOS ESTRUCTURALES

Inicialmente establecemos un tipo de losa nervada en dos direcciones monolíticamente armada con sus vigas en todo el perímetro y el interior definiendo así pórticos en sentido XX o transversal y pórtico en sentido YY o longitudinal, esto conforma el prediseño de vigas y columnas

PREDISEÑO DE LOSAS

El diseño de la losa se realizará conforme al siguientes capítulo del ACI 318-08 Capítulo 13 (Sistemas de losa en una y dos direcciones)⁴

*“Incialmente se predimensiona la losa siendo esta la primera cuantificación de cargas que van a soportar los demás elementos estructurales, la mayoría de las edificaciones utiliza un sistema de losas bidireccional apoyadas sobre vigas y que en nuestra estructura utilizaremos la antes mencionada”.*⁴

$$h = \frac{\ln(0.8 + \frac{f_y}{14000})}{36 + 5\beta(\alpha_{fm} - 0.2)} \quad 12.5 \quad \text{Tabla: 9-12}$$

Dónde:

α_{fm} = Valor promedio de , que es la relación entre la rigidez a flexión de una sección de viga y la rigidez a flexión de una franja de losa limitada lateralmente por los ejes centrales de los paneles adyacentes (si los hay) a cada lado de la viga.

L_n= Corresponde a la longitud libre en la dirección larga medida cara a cara de las vigas.

= Corresponde a la relación de la luz libre en la dirección larga a la luz libre en la dirección corta de la losa.

Fy= Esfuerzo a la fluencia del acero.

Para el prediseño de la altura de losa utilizaremos la ecuación 9-12 asumiendo el valor de 0.2 para el promedio de la relación de rigidez a la flexión de la sección de una viga a la rigidez a la flexión de un ancho de losa $\frac{f_m}{f_m}$.⁵

$$\beta = \frac{\text{Lado Mayor}}{\text{Lado Menor}} = \frac{6,32}{5,93}$$

$$= 1,06$$

h= 20 cm

PREDISEÑO DE VIGAS

Para el prediseño de las vigas se determina el pórtico crítico para dimensionar las secciones de las posibles vigas, transando líneas a 45 grados desde cada eje con sus respectivas áreas de tributación.⁴

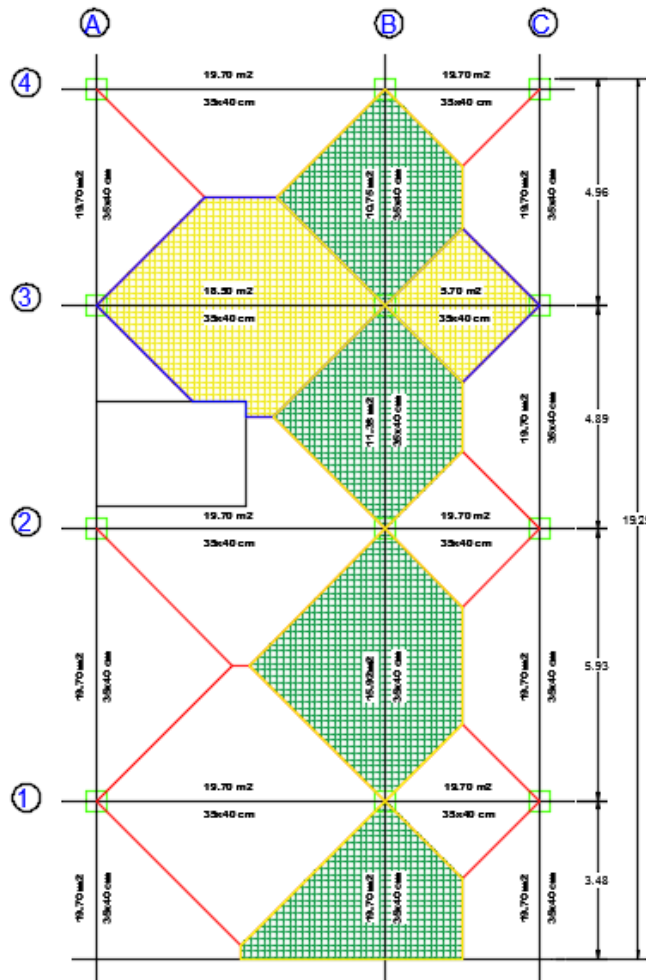


Gráfico: Mosaico De Cargas para vigas

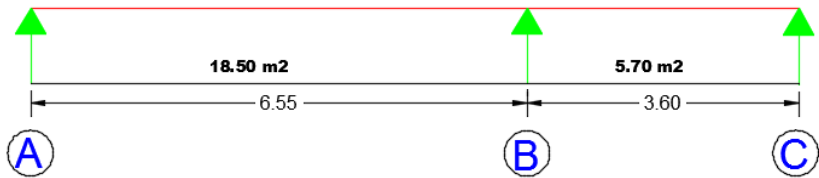


Gráfico: Viga Critica en el Sentido X

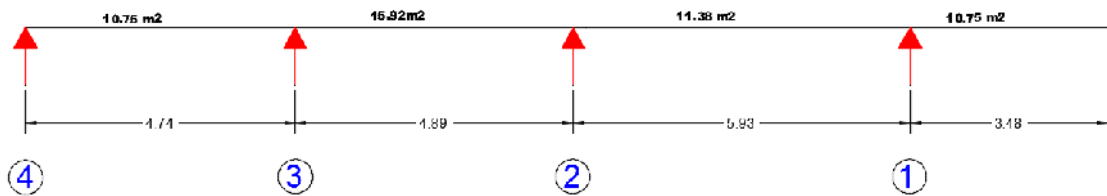


Gráfico: Viga Critica en el Sentido Y

Tabla: Pre-diseño final de Vigas
Viga Critica en el Sentido X

Predimensionamiento Final de Vigas

Carga Muerta (Kg/m ²)	Carga Viva (Kg/m ²)	Área de Aportación (m ²)	Longitud de Viga (m)	U (kg/m)	Máximo (Kg-m)	Eje	Tramo	Pre Dimensión (cm)
747	240	18,5	6,55	4171,18	2114912	X	A-B	35 40
747	240	5,7	3,6	2300,99	323059	X	B-C	20 20

Viga Critica en el Sentido Y

747	240	10,75	4,74	3295,89	802216	Y	4-3	30	30
747	240	15,92	4,89	4705,30	1218898	Y	3-2	35	30
747	240	11,38	5,93	2788,88	1062433	Y	2-1	35	30
747	240	10,75	3,48	4489,23	3533813	Y	1-Volado	40	45

PREDISEÑO DE COLUMNAS

Observamos el área tributaria de la losa a la viga y de la viga a la columna, de tal manera que mediante un gráfico establecemos las columnas más cargadas B2-B1-A3

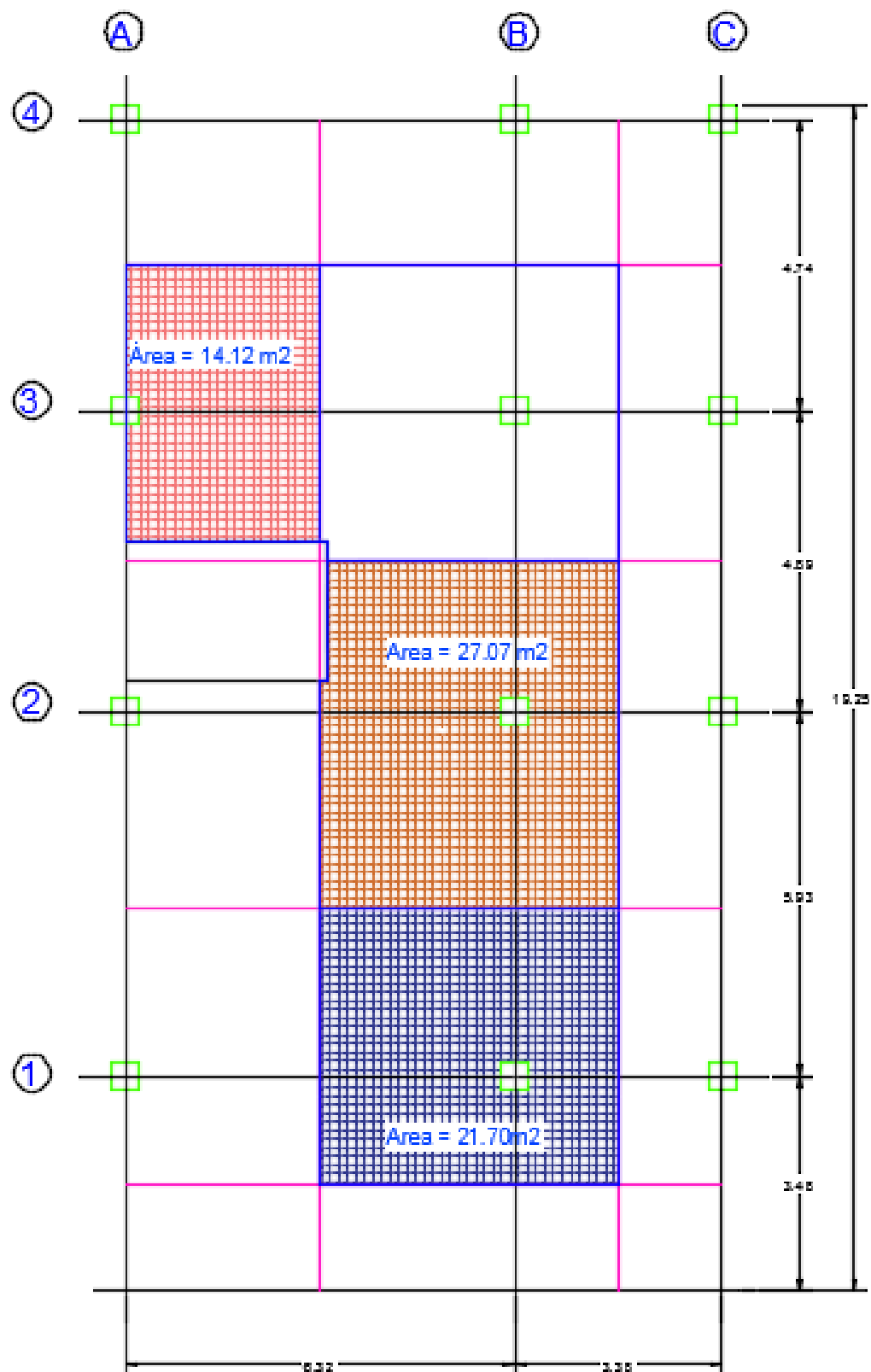


Gráfico: Mosaico de cargas para columnas

Tabla: Predimensionamiento final de columnas

Carga Muerta (Kg/m ²)	Carga Viva (Kg/m ²)	Área de Aportación (m ²)	U (Kg/m)	Pu (Kg)	Columna	Pre dimensionamiento (cm)	
747	240	27,07	1453,26	157358,69	B2	45	45
747	240	21,7	1453,26	126142,73	B1	45	45
747	240	14,12	1453,26	82079,97	A3	35	35

COMBINACIONES DE CARGA DE ACUERDO A LAS NEC 2015

*“Las estructuras, componentes y cimentaciones, deberán ser diseñadas de tal manera que la resistencia de diseño iguale o exceda los efectos de las cargas incrementadas, de acuerdo a las siguientes combinaciones”:*⁶

- ✓ COMBO 1. 1.4 D
- ✓ COMBO 2. 1.2 D+ 1.6 L
- ✓ COMBO 3. 1.2 D+ 0.5W
- ✓ COMBO 4. 1.2 D+ 1.0 W+L
- ✓ COMBO 5. 1.2 D+1.0Ex+L
- ✓ COMBO 6. 1.2 D-1.0Ex+L
- ✓ COMBO 7. 1.2 D+1.0Ey+L
- ✓ COMBO 8. 1.2 D-1.0Ey+L
- ✓ COMBO 9. 0.9 D + 1.0 W
- ✓ COMBO 10. 0.9D+1.0Ex
- ✓ COMBO 11. 0.9D-1.0Ex
- ✓ COMBO 12. 0.9D+1.0Ey
- ✓ COMBO 13. 0.9D-1.0Ey
- ✓ COMBO 14. Envolvente

D = carga permanente

E = carga de sismo

L = sobrecarga

W =carga de viento

DEFINICION DEL ESPECTRO DE DISEÑO DE ACUERDO A LAS NEC 2015

W= 530,80 Tn
qu= 1 Kg/cm²=

Tabla. Diseño de cargas Sísmica

Diseño de cargas sísmicas			
Tipo de Suelo	D		
Datos del Proyecto			
Datos de Zona y suelo		Resultados de Cálculo	
Z=	0,35	Ct=	0,055
Fa=	1,25	=	0,90
Fd=	1,28	T=	0,45
Fs=	1,19	ZFa=	0,44
Datos de la Estructura		ZFa=	0,79
I=	1	To=	0,12
ØP=	1	Tc=	0,67
ØE=	1	r=	1,00
R=	5	=	1,80
hn=	11,35	Sa=	1,17
Utilizar condición:		K=	1
Sa=	0,7875		
K=	1		
Cortante basal de diseño V			
W=D=	530,80	Ton	
V=	83,60	Ton	

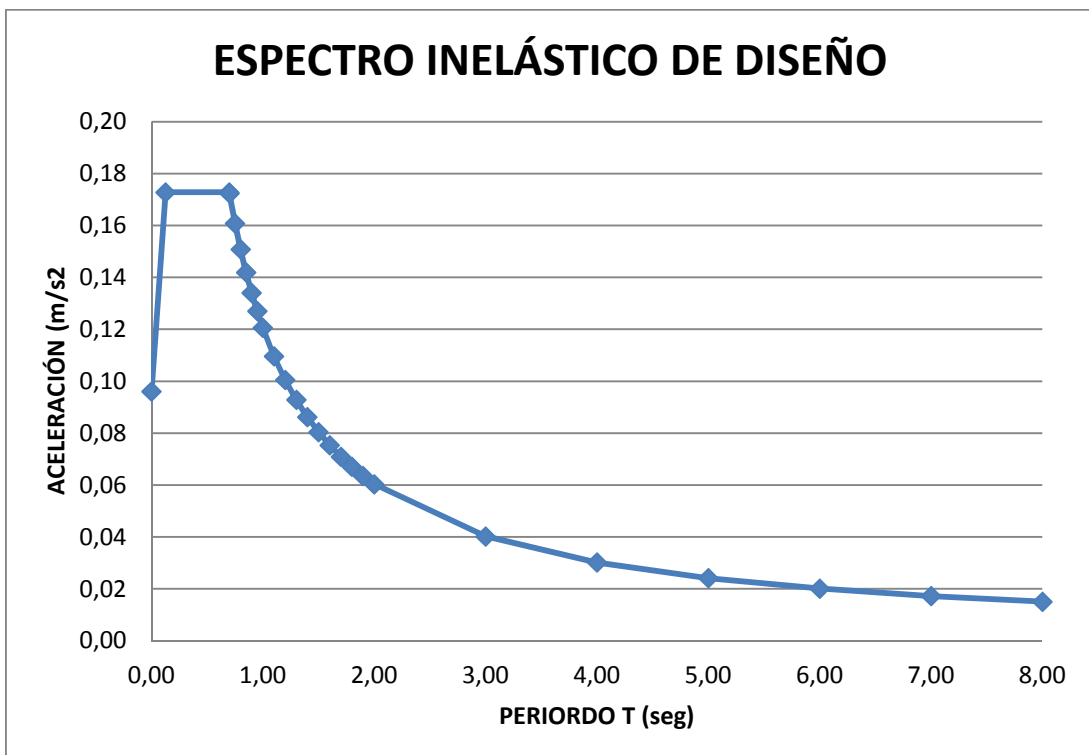
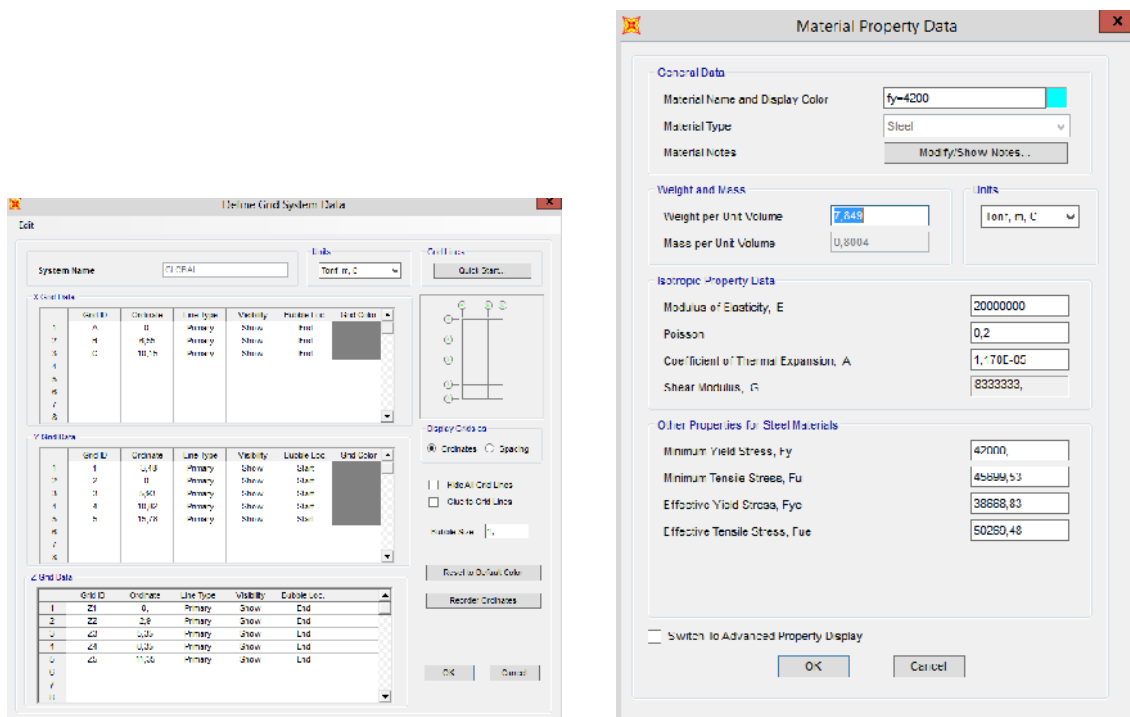
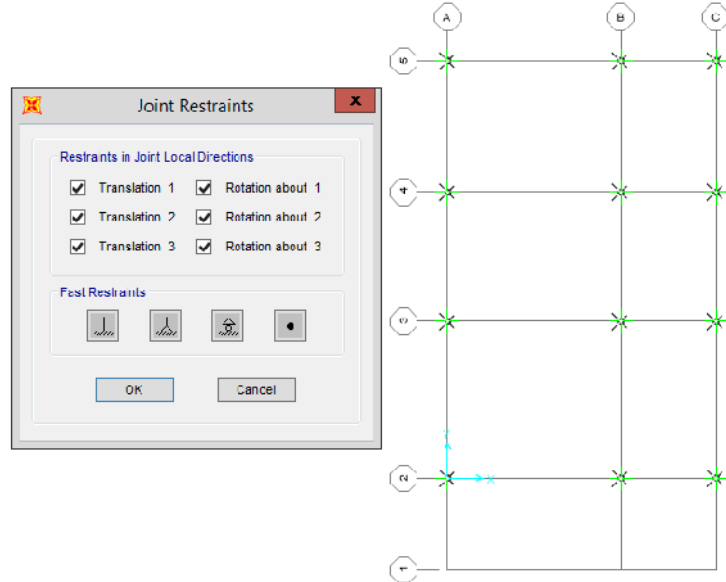


Gráfico: Espectro inelástico de diseño

MODELACIÓN MATEMÁTICA EN 3D CON EL SOFTWARE SAP2000





Object Model - Point Information	
Location	Assignments
<input type="text" value="Label: 80"/>	
Identification	
<input type="text" value="Label: 80"/>	
Constraint	
Name	LOSA 1
Type	Diaphragm
Restraint	u3, r1, r2
Local Axes	Default
Springs	None
Mass	
Coordinate System	GLOBAL
Mass Specified As	Mass
UX	11.74
UY	11.74
RZ	351.05
Panel Zone	None
Joint Patterns	None
Group	ALL
Generalized Displs	None
RS Named Sets	None
Plot Functions	None
Merge Number	0

Double click white background cell to edit item.

Object Model - Point Information	
Location	Assignments
<input type="text" value="Label: 81"/>	
Identification	
<input type="text" value="Label: 81"/>	
Constraint	
Name	LOSA2
Type	Diaphragm
Restraint	u3, r1, r2
Local Axes	Default
Springs	None
Mass	
Coordinate System	GLOBAL
Mass Specified As	Mass
UX	14.54
UY	14.54
RZ	565.61
Panel Zone	None
Joint Patterns	None
Group	ALL
Generalized Displs	None
RS Named Sets	None
Plot Functions	None
Merge Number	0

Double click white background cell to edit item.

Object Model - Point Information	
Location	Assignments
<input type="text" value="Label: 82"/>	
Identification	
<input type="text" value="Label: 82"/>	
Constraint	
Name	LOSA 3
Type	Diaphragm
Restraint	u3, r1, r2
Local Axes	Default
Springs	None
Mass	
Coordinate System	GLOBAL
Mass Specified As	Mass
UX	14.01
UY	14.01
RZ	350.05
Panel Zone	None
Joint Patterns	None
Group	ALL
Generalized Displs	None
RS Named Sets	None
Plot Functions	None
Merge Number	0

Double click white background cell to edit item.

Object Model - Point Information	
Location	Assignments
<input type="text" value="Label: 83"/>	
Identification	
<input type="text" value="Label: 83"/>	
Constraint	
Name	LOSA 4
Type	Diaphragm
Restraint	u3, r1, r2
Local Axes	Default
Springs	None
Mass	
Coordinate System	GLOBAL
Mass Specified As	Mass
UX	14.01
UY	14.01
RZ	553.05
Panel Zone	None
Joint Patterns	None
Group	ALL
Generalized Displs	None
RS Named Sets	None
Plot Functions	None
Merge Number	0

Double click white background cell to edit item.

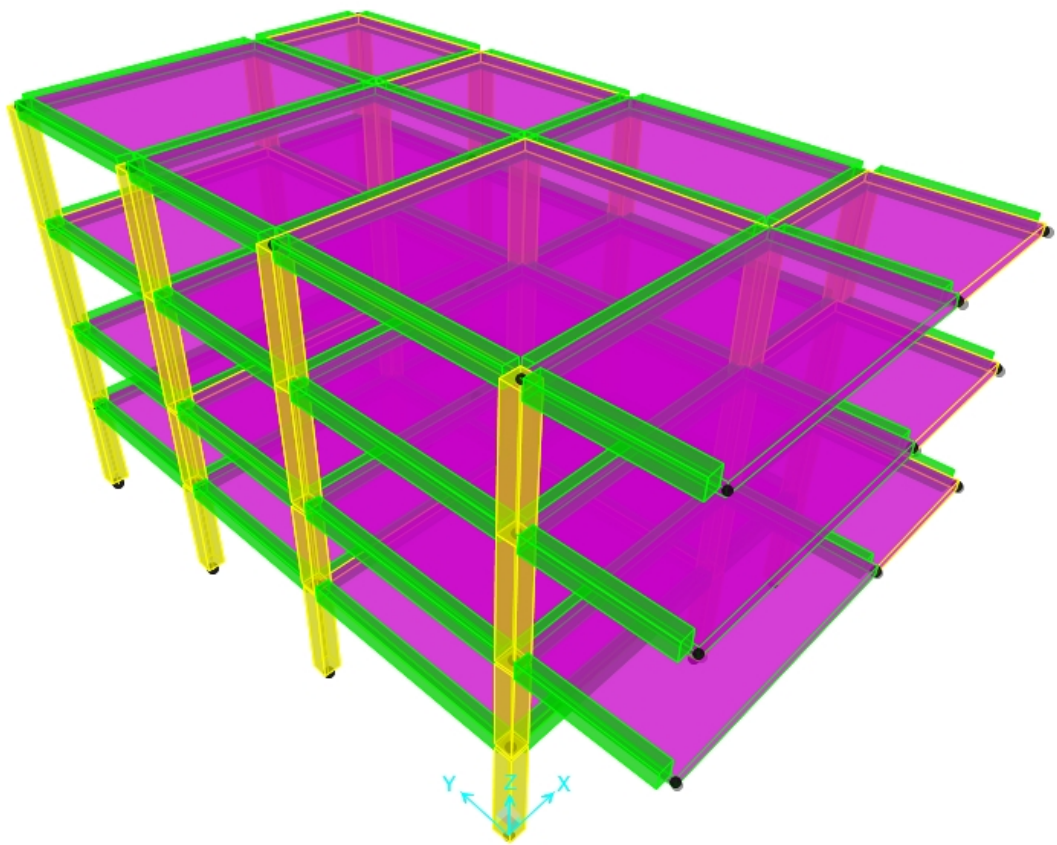


Gráfico: Modelación grafica en 3D

DIAGRAMAS DE FUERZA CORTANTE Y MOMENTO FLEXIONANTE EN VIGAS Y COLUMNAS PARA LA COMBINACIÓN DE CARGA MÁS CRÍTICA

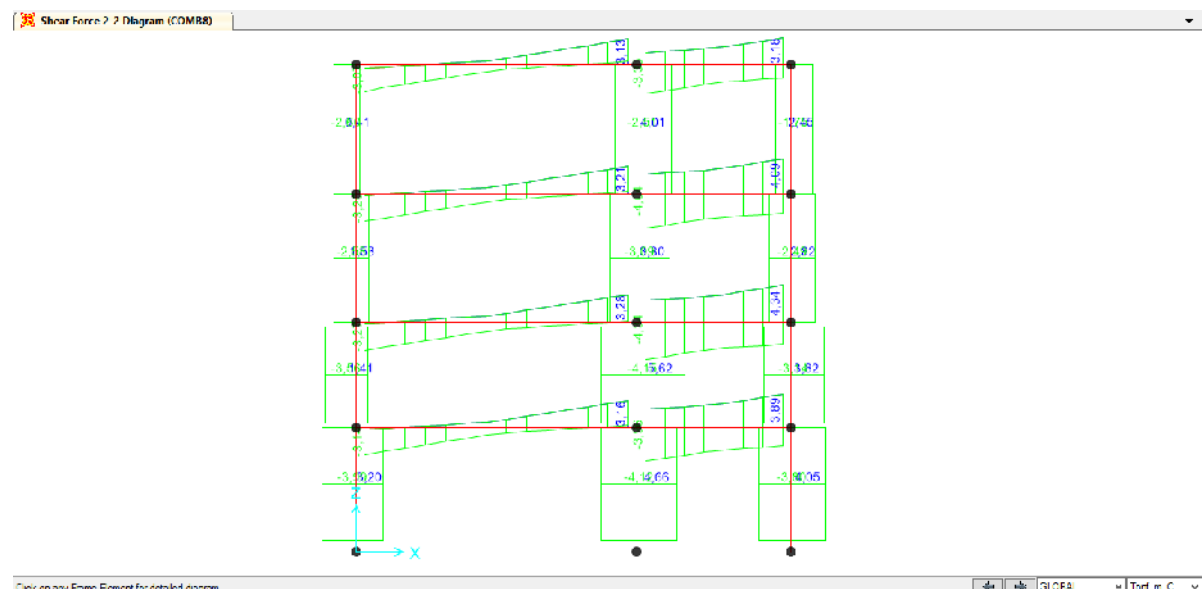


Gráfico: Diagrama de fuerza cortante

SECCIONES FINALES DE LOS ELEMENTOS ESTRUCTURALES

Tabla: Secciones Finales

VIGAS (cm)	COLUMNAS (cm)	LOSA (cm)
50x30	50x40	30

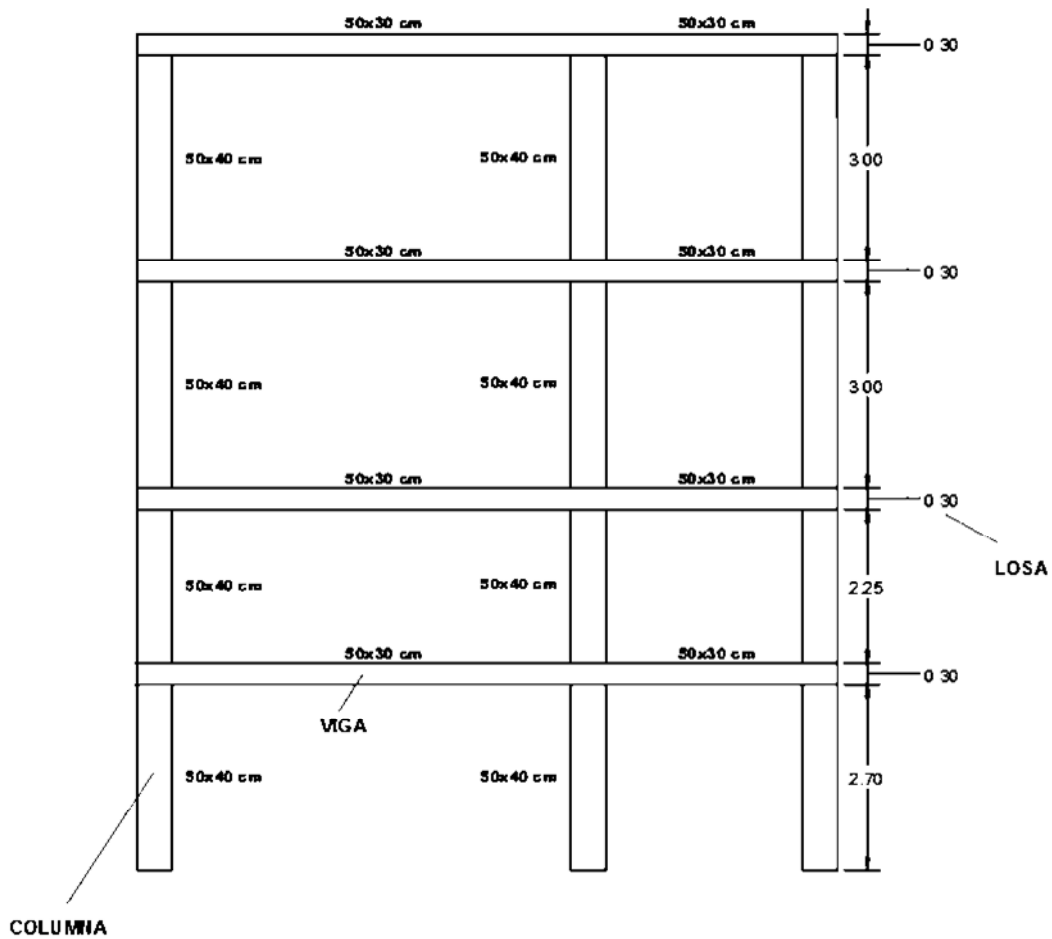


Gráfico: Pórtico critico 3A – 3B – 3C Sentido X

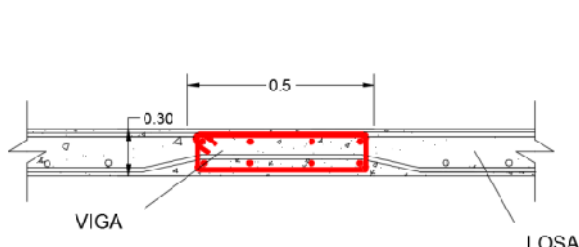


Gráfico: Corte Transversal

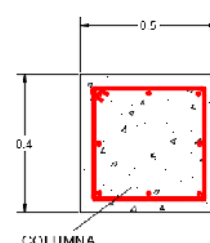


Gráfico: Detalle de Columna

DISEÑO GEOMÉTRICO FINAL DE LA CIMENTACIÓN PARA Qu REQUERIDO

$$Qu = 1 \text{ kg/cm}^2 = 10 \text{ Ton/m}^2$$

$$P = 41 \text{ Ton}$$

$$A = P/q_u = 41000 \text{ kg/ 1 kg/cm}^2$$

$$A = 41000 \text{ cm}^2$$

$$A = 4.1 \text{ m}^2$$

$$b = l =$$

$$b = l = \sqrt{A} = \sqrt{41000} \approx 202 \text{ cm} = 2.02 \text{ m}$$

$$b = l = 2.02 \text{ m}$$

Profundidad del desplante

$$h = (1/2) + 0.3 \text{ (altura de primer entrepiso)}$$

$$h = 0.5 + 0.3 * (2.9)$$

$$h = 0.5 + 0.87$$

$$h = 1.37 \text{ m}$$

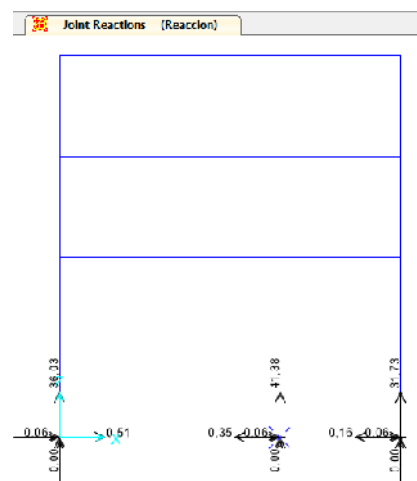


Gráfico: Reacción P

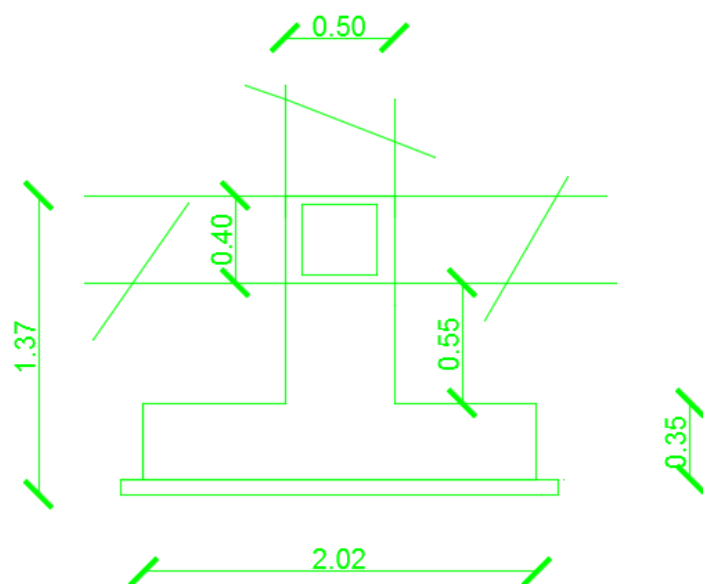


Gráfico: Diseño Final de la Geometría

CONCLUSIONES

- Luego del análisis se comprobó las derivas de piso las mismas que cumplen con lo establecido de la norma, la misma que indica que estos valores deben ser inferiores a 0.02
- Este análisis está elaborado con el método de Diseño Basado en Fuerzas DBF de la norma NEC 2015 por lo tanto se espera que el edificio no colapse ante un sismo y sus daños sean reparables.
- Se obtiene el espesor de la losa nervada de 30 cm por cada piso.
- El dimensionamiento final de la viga banda es de 50x30 cm quedando al mismo espesor de la losa.
- El dimensionamiento final para las columnas es de 50x40 cm, tanto para mezanime como para los siguientes pisos altos.

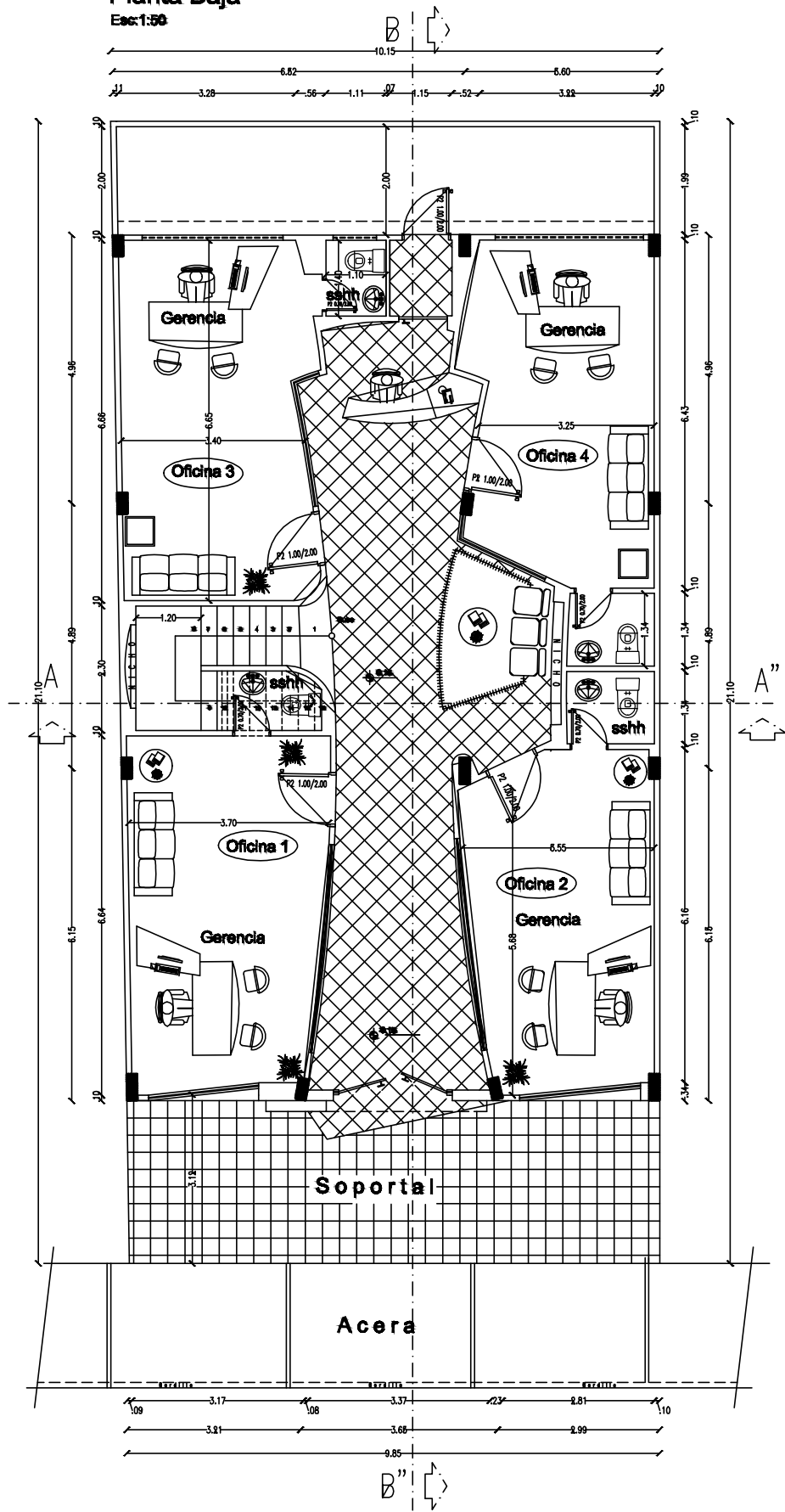
REFERENCIAS BIBLIOGRAFICAS

1. SISTEMAS DE CONTROL PARA LA PROTECCIÓN DE ESTRUCTURAS CIVILES SOMETIDAS A CARGAS DINÁMICAS [Internet]. [cited 2015 Nov 23]. Disponible en: <http://www.scielo.org.co/pdf/dyna/v75n155/a08v75n155.pdf>
2. Propuesta metodológica para establecer áreas de riesgo por remoción en masa, Chile [Internet]. [cited 2015 Nov 23]. Disponible en: <http://www.scielo.org.co/pdf/rcdg/v22n2/v22n2a09.pdf>
3. CAMICON, MIDUVI. Norma Ecuatoriana de la Construcción - NEC: NEC-SE-DS - Peligro Sísmico/Diseño Sismo Resistente. 2014. 1-139 p.
4. Código ACI 318S-08 [Internet]. [cited 2015 Oct 20]. Disponible en: <http://www.separadoresatecon.com/Portals/0/Articulos%20Interes/ACI-318-08-REGLAMENTO-PARA-CONCRETO-ESTRUCTURAL-98-101.pdf>
5. Zúñiga Matute PS. El centro de rigidez y el centro de masas y su incidencia en el comportamiento estructural ante solicitudes sísmicas en un edificio tipo I de 6 pisos de hormigón armado en el cantón Ambato, provincia de Tungurahua [Internet]. 2015 [cited 2015 Oct 23]. Disponible en: <http://repositorio.uta.edu.ec/jspui/handle/123456789/11994>
6. Materiales CY. NEC-11 Cargas y Materiales. Com Ejec la norma ecuatoriana la contrucción. 2011;1–38.

ANEXOS

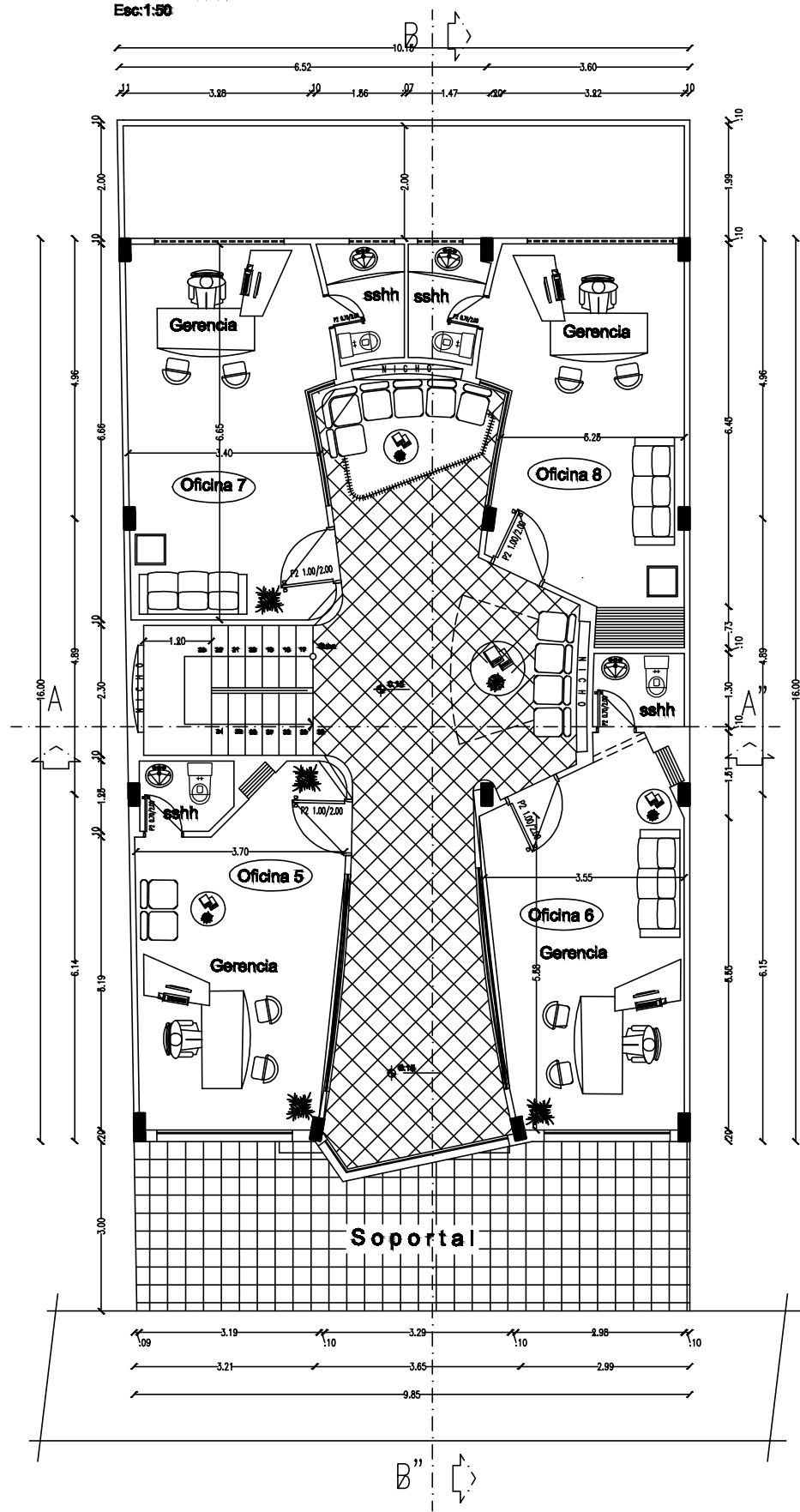
Planta Baja

Esc:1:50



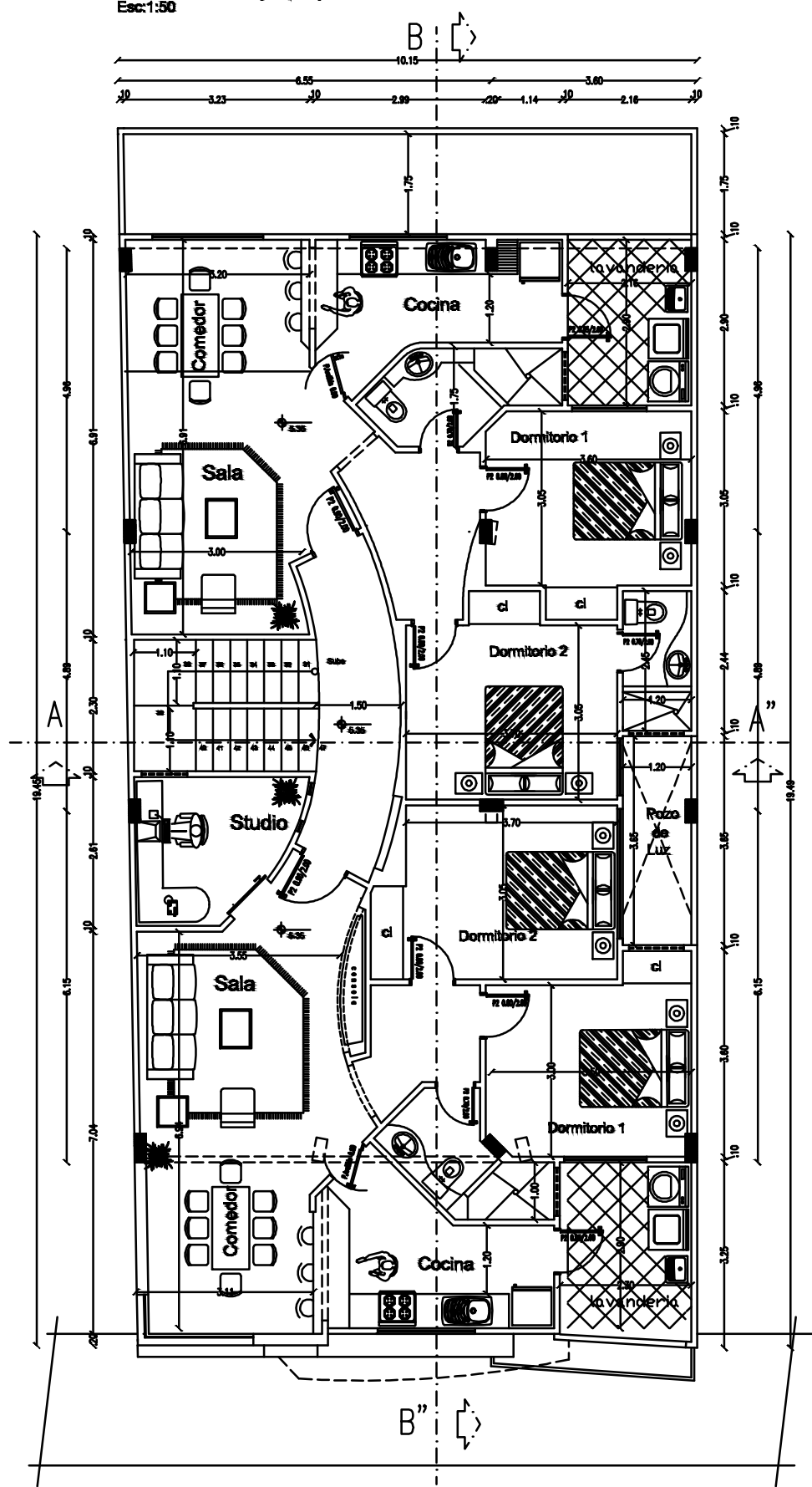
Mezzanine

Esc:1:50



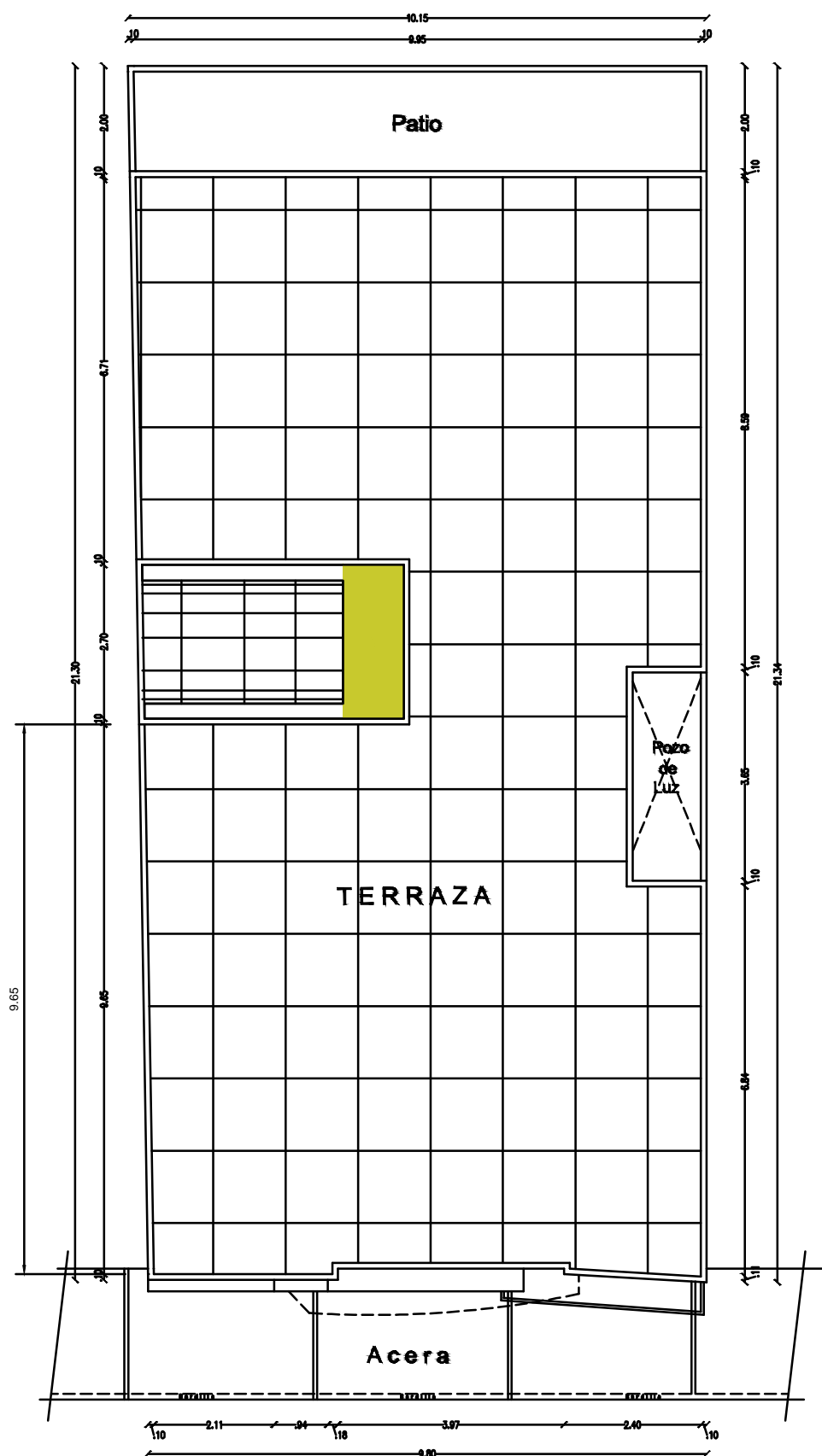
Planta Alta (Tipo)

Esc:1:50



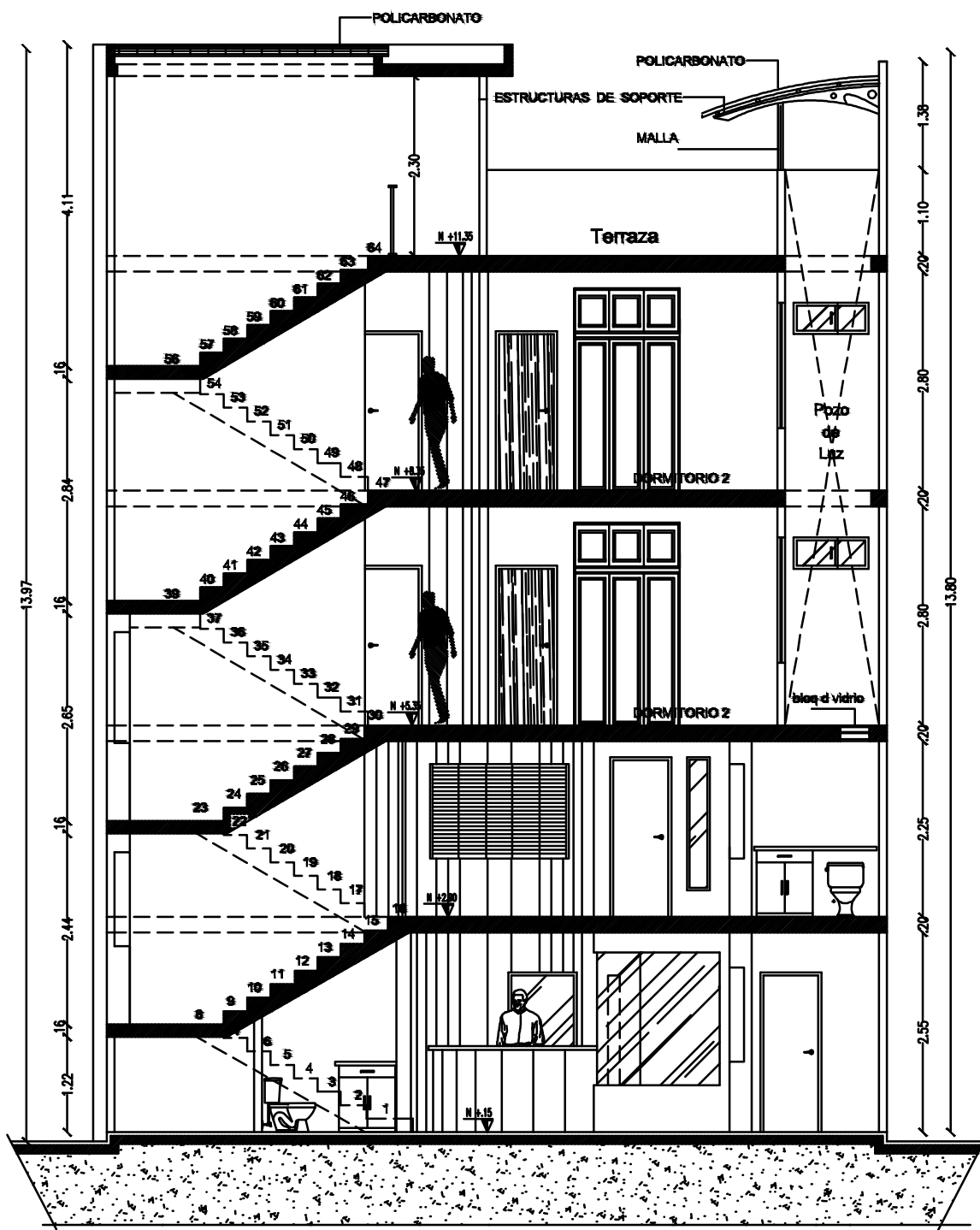
Implantacion y Cubierta

Esc:1:50

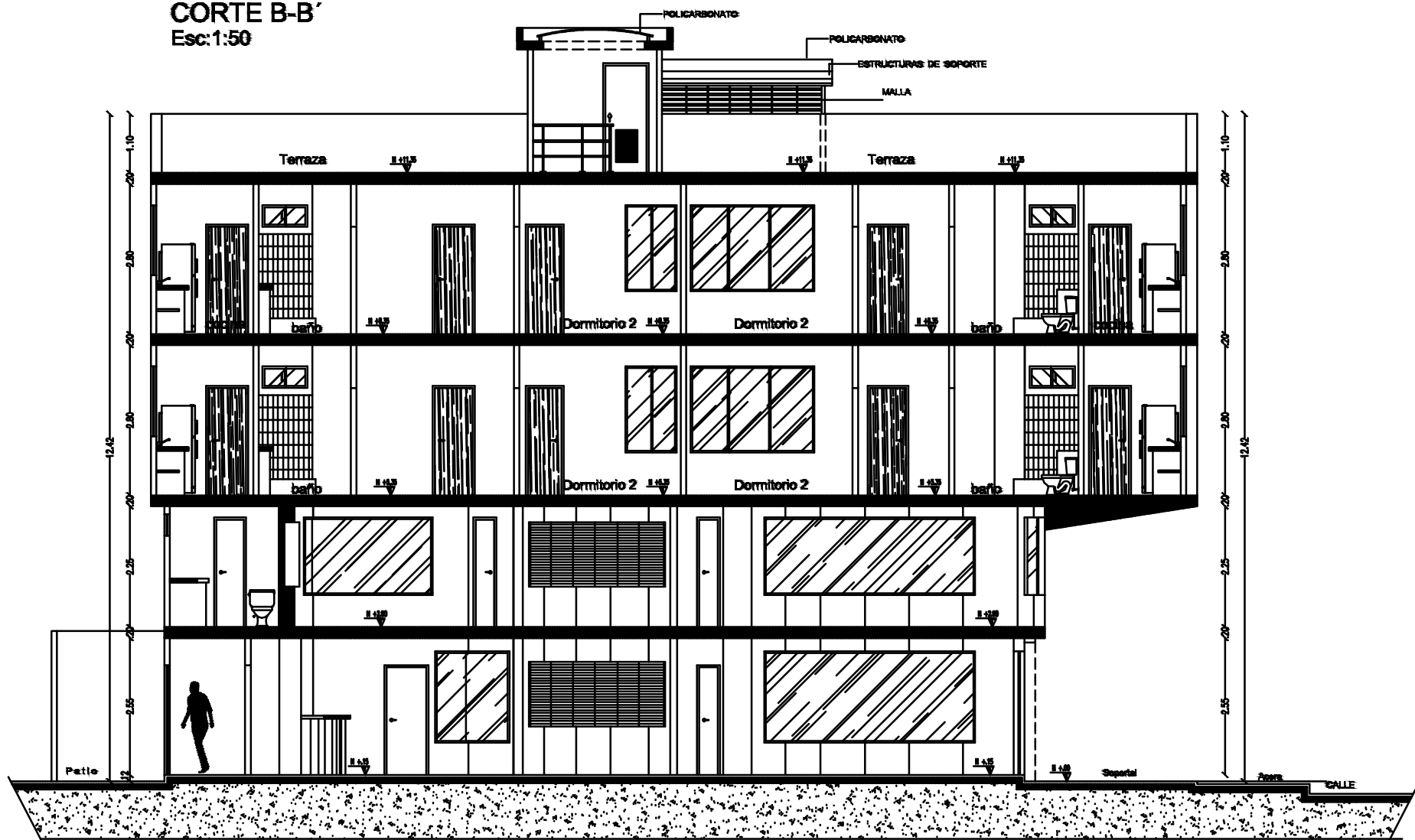


CORTE A-A'

Esc:1:50



CORTE B-B'
Esc:1:50



Verificación de las Derivas Máximas de Pisos											
Dx y Dy (0,75*R)											
Piso	H Piso (m)	dx (cm)	dy (cm)	M		d=dn-dn-1		Deriva		Mi < 0.02	
				X-X	Y-Y	X-X	Y-Y	X-X	Y-Y	X-X	Y-Y
4	3	18,45	26,75	30,77	26,75	4,79	6,43	0,016	0,002	OK	OK
3	3	13,66	20,32	22,71	20,32	6,00	8,73	0,020	0,003	OK	OK
2	2,45	7,66	11,59	12,10	11,59	5,00	6,97	0,020	0,003	OK	OK
1	2,9	2,66	4,62	4,47	4,62	2,66	4,62	0,009	0,002	OK	OK

Tabla: Derivas Máximas de piso

SENTIDO X

DESPLAZAMIENTO DEL CENTRO DE MASAS DEL PISO 4 Y 3

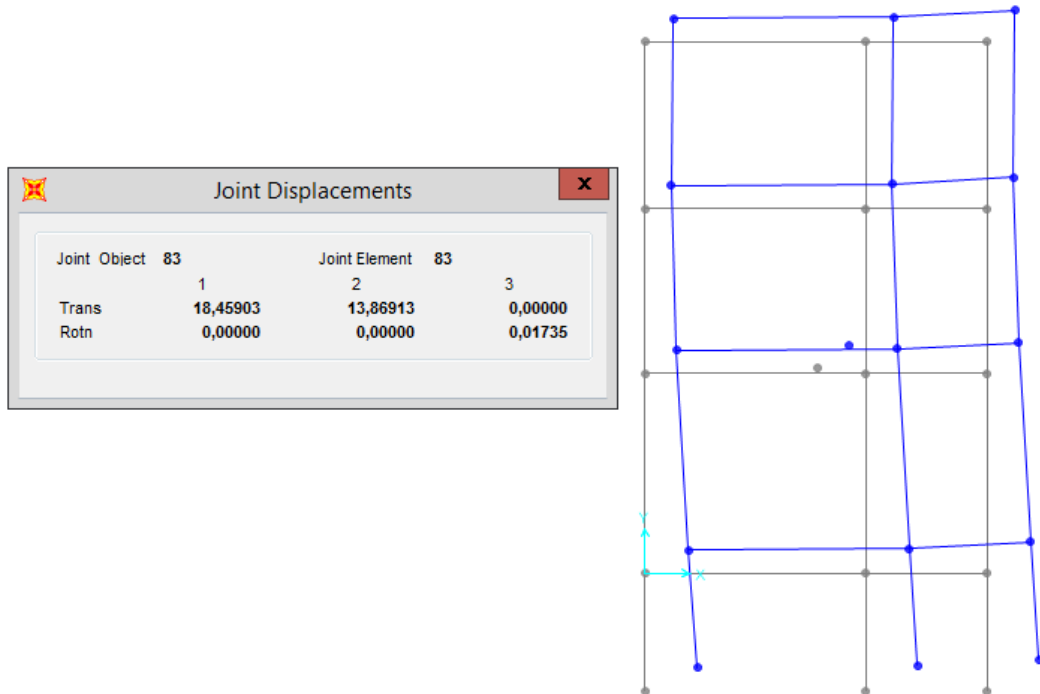


Gráfico: Desplazamiento del centro de masas del piso 4-3

DESPLAZAMIENTO DEL CENTRO DE MASAS DEL PISO 3 Y 2

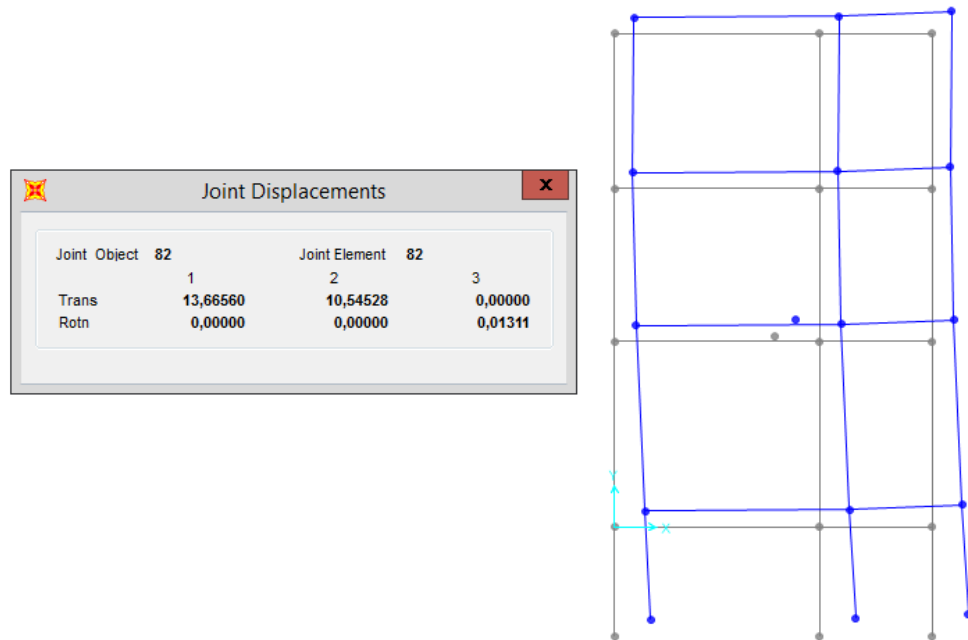


Gráfico: Desplazamiento del centro de masas del piso 3-2

DESPLAZAMIENTO DEL CENTRO DE MASAS DEL PISO 1 y 0

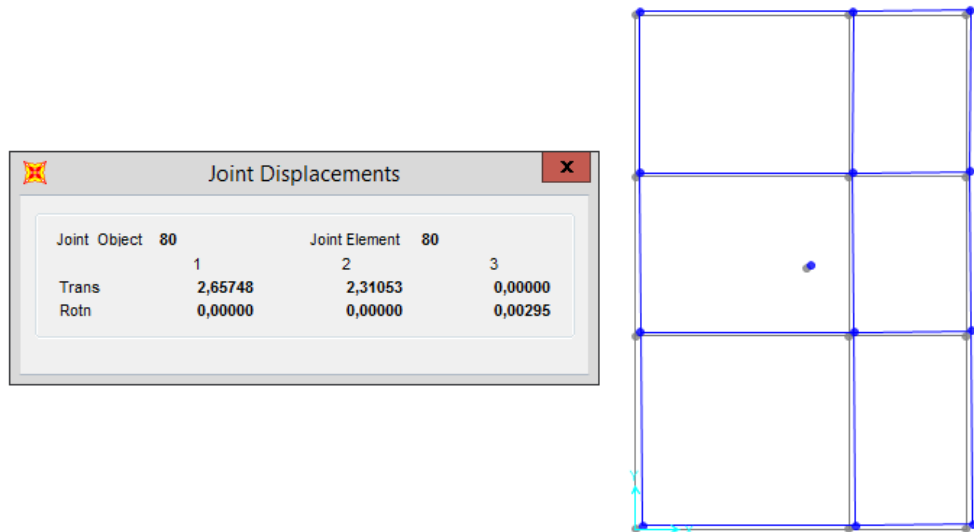


Gráfico: Desplazamiento del centro de masas del piso 1-0

SENTIDO Y DESPLAZAMIENTO DEL CENTRO DE MASAS DEL PISO 4 Y 3

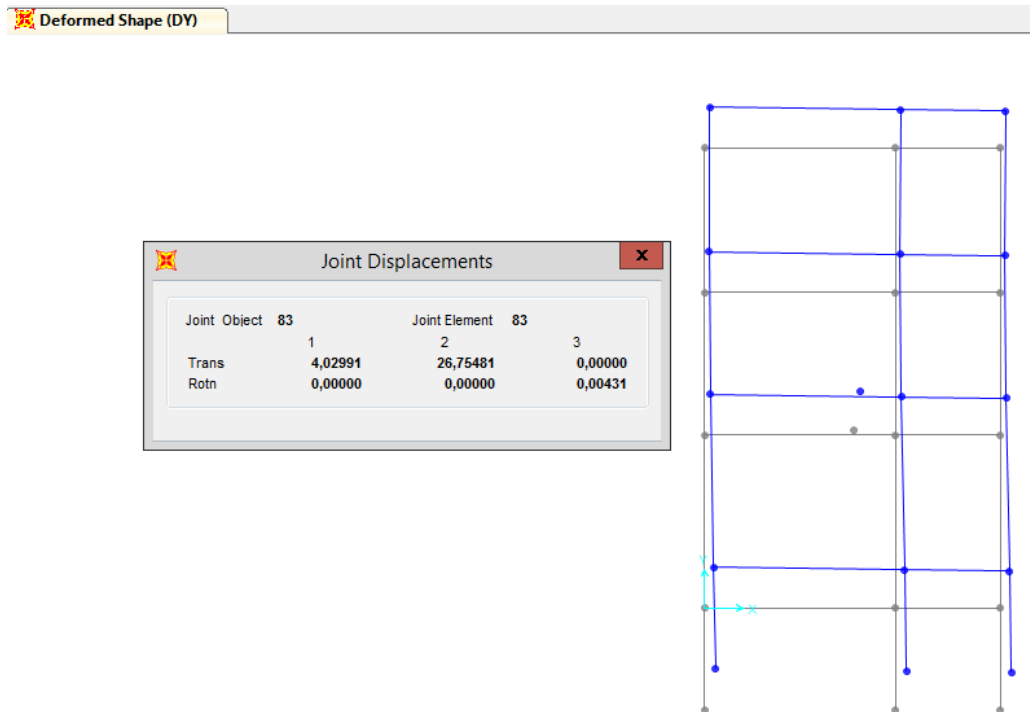


Gráfico: Desplazamiento del centro de masas del piso 4-3

DESPLAZAMIENTO DEL CENTRO DE MASAS DEL PISO 3 Y 2

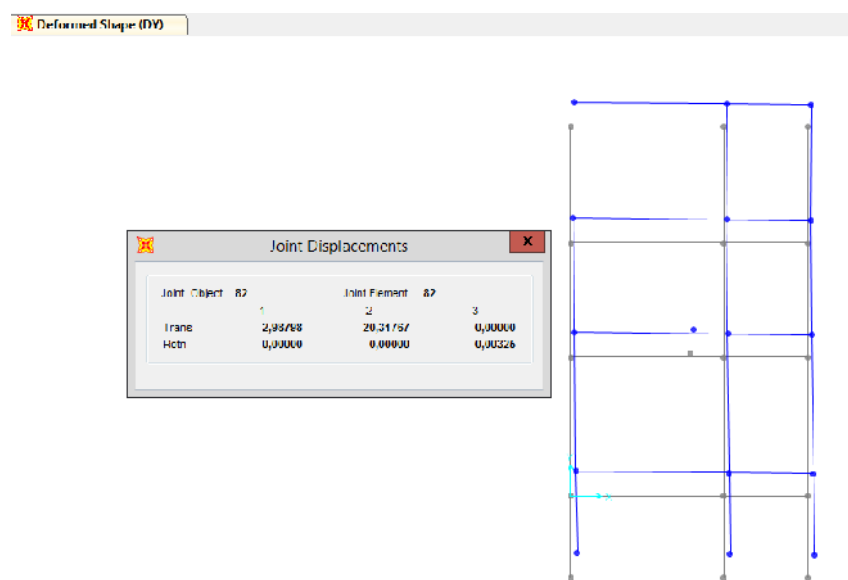


Gráfico: Desplazamiento del centro de masas del piso 3-2

DESPLAZAMIENTO DEL CENTRO DE MASAS DEL PISO 2 Y 1

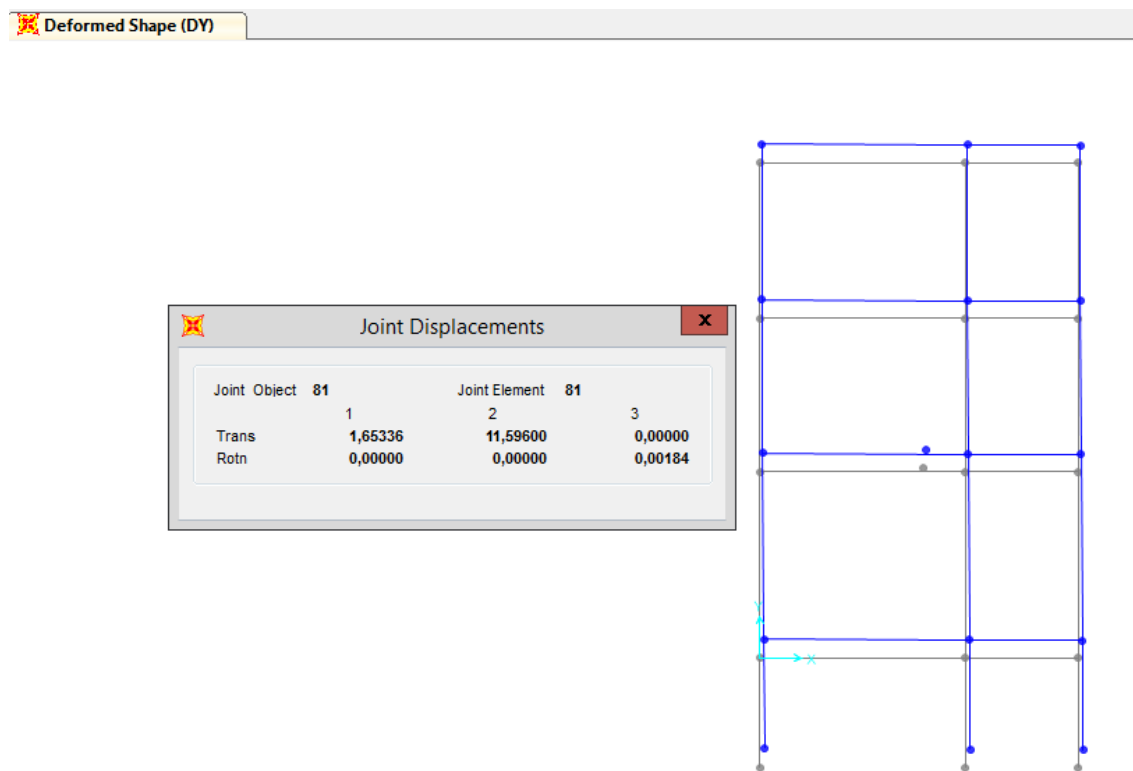


Gráfico: Desplazamiento del centro de masas del piso 2-1

DESPLAZAMIENTO DEL CENTRO DE MASAS DEL PISO 1 y 0

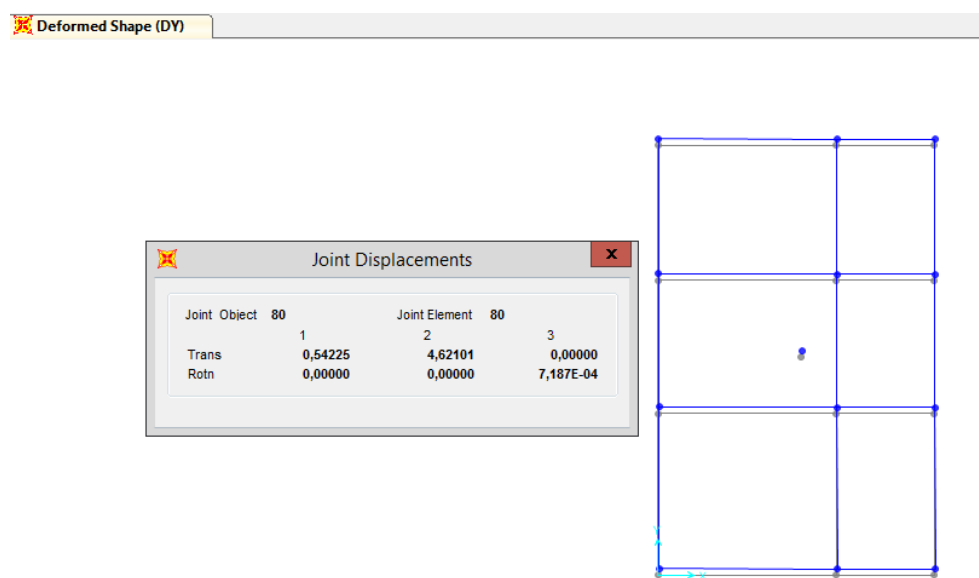


Gráfico: Desplazamiento del centro de masas del piso 1-0

138	5,27	ENVOLVENTE	Combination	Max	0,00	2,63	0,00	0,34	0,00	2,28	138-1	5,27
138	5,73	ENVOLVENTE	Combination	Max	0,00	3,00	0,00	0,34	0,00	2,74	138-1	5,73
139	4,35	ENVOLVENTE	Combination	Max	0,00	1,75	0,00	0,31	0,00	1,75	139-1	4,35
139	4,81	ENVOLVENTE	Combination	Max	0,00	2,12	0,00	0,31	0,00	1,68	139-1	4,81
139	5,27	ENVOLVENTE	Combination	Max	0,00	2,48	0,00	0,31	0,00	2,01	139-1	5,27
139	5,73	ENVOLVENTE	Combination	Max	0,00	2,85	0,00	0,31	0,00	2,42	139-1	5,73
140	5,27	ENVOLVENTE	Combination	Max	0,00	2,16	0,00	0,22	0,00	1,36	140-1	5,27
140	5,73	ENVOLVENTE	Combination	Max	0,00	2,53	0,00	0,22	0,00	1,64	140-1	5,73
140	5,73	ENVOLVENTE	Combination	Min	0,00	-0,62	0,00	-0,22	0,00	-2,97	140-1	5,73
141	4,19	ENVOLVENTE	Combination	Max	0,00	2,56	0,00	0,31	0,00	2,25	141-1	4,19
141	4,69	ENVOLVENTE	Combination	Max	0,00	2,96	0,00	0,31	0,00	2,89	141-1	4,69
141	0,20	ENVOLVENTE	Combination	Min	0,00	-3,18	0,00	-0,31	0,00	-4,50	141-1	0,20
142	3,69	ENVOLVENTE	Combination	Max	0,00	2,24	0,00	0,35	0,00	2,14	142-1	3,69
142	4,19	ENVOLVENTE	Combination	Max	0,00	2,63	0,00	0,35	0,00	2,56	142-1	4,19
142	4,69	ENVOLVENTE	Combination	Max	0,00	3,03	0,00	0,35	0,00	3,29	142-1	4,69
143	3,69	ENVOLVENTE	Combination	Max	0,00	1,96	0,00	0,31	0,00	2,03	143-1	3,69
143	4,19	ENVOLVENTE	Combination	Max	0,00	2,36	0,00	0,31	0,00	2,24	143-1	4,19
143	4,69	ENVOLVENTE	Combination	Max	0,00	2,75	0,00	0,31	0,00	2,88	143-1	4,69
144	3,69	ENVOLVENTE	Combination	Max	0,00	1,55	0,00	0,23	0,00	1,37	144-1	3,69
144	4,19	ENVOLVENTE	Combination	Max	0,00	1,95	0,00	0,23	0,00	1,43	144-1	4,19
144	4,69	ENVOLVENTE	Combination	Max	0,00	2,34	0,00	0,23	0,00	1,84	144-1	4,69
145	3,85	ENVOLVENTE	Combination	Max	0,00	2,26	0,00	0,30	0,00	1,94	145-1	3,85
145	4,30	ENVOLVENTE	Combination	Max	0,00	2,62	0,00	0,30	0,00	2,40	145-1	4,30
145	4,76	ENVOLVENTE	Combination	Max	0,00	2,98	0,00	0,30	0,00	2,99	145-1	4,76
146	3,85	ENVOLVENTE	Combination	Max	0,00	2,32	0,00	0,34	0,00	2,33	146-1	3,85
146	4,30	ENVOLVENTE	Combination	Max	0,00	2,69	0,00	0,34	0,00	2,72	146-1	4,30
146	4,76	ENVOLVENTE	Combination	Max	0,00	3,05	0,00	0,34	0,00	3,39	146-1	4,76
147	3,85	ENVOLVENTE	Combination	Max	0,00	2,06	0,00	0,31	0,00	2,21	147-1	3,85
147	4,30	ENVOLVENTE	Combination	Max	0,00	2,42	0,00	0,31	0,00	2,40	147-1	4,30
147	4,76	ENVOLVENTE	Combination	Max	0,00	2,78	0,00	0,31	0,00	2,99	147-1	4,76
148	3,85	ENVOLVENTE	Combination	Max	0,00	1,63	0,00	0,22	0,00	1,72	148-1	3,85
148	4,30	ENVOLVENTE	Combination	Max	0,00	1,99	0,00	0,22	0,00	1,69	148-1	4,30
148	4,76	ENVOLVENTE	Combination	Max	0,00	2,35	0,00	0,22	0,00	2,04	148-1	4,76

Urkund Analysis Result

Analysed Document: Trabajo Practico de Titulacion (Examen Completivo) 2 - Luis Barzallo Asunción.docx (D16388240)
Submitted: 2015-11-25 21:00:00
Submitted By: luisbar85@hotmail.com
Significance: 8 %

Sources included in the report:

TRABAJO PRÁCTICO DE TITULACIÓN JEFFERSON STALIN ESPINOZA SUÁREZ.docx (D16368869)
Jesus T Proyecto estructuras II.docx (D16363641)

Instances where selected sources appear:

3



ARQUITECTA
Luisana Campuzano
DOCENTE
0704180611